

УДК 541.138

*В.Б. Образцов, Р.Г. Старов, А.И. Зайцев*

## **МОНИТОРИНГ ИНГИБИТОРНОЙ ЗАЩИТЫ В СИСТЕМАХ ОБОРОТНОГО ВОДОСНАБЖЕНИЯ**

**ГВУЗ «Украинский государственный химико-технологический университет», г. Днепропетровск**

В статье предлагается инновационная методика коррозионного мониторинга агрессивности среды и контроля текущей концентрации ингибитора на базе кулоно-статического метода для систем оборотного водоснабжения. Показана возможность расчета концентрации ингибитора в растворе на основании параметров изотермы адсорбции ингибитора и модели «блокировки» по измеренным значениям емкости двойного электрического слоя и поляризационного сопротивления. Используя предлагаемую методику, проведен долгосрочный мониторинг коррозии стали в нейтральной среде.

### ***Введение***

При эксплуатации систем оборотного водоснабжения нефтеперерабатывающих заводов протекает ряд нежелательных процессов, связанных с коррозией трубопроводов и оборудования, отложением солей жесткости и биобросами. Эти процессы особенно интенсивно проявляются в местах теплообмена. Одним из самых эффективных методов борьбы с этими явлениями является введение в агрессивную среду ингибиторов коррозии и солеотложения, а также бактерицидных препаратов. Указанные методы отличаются высокой эффективностью, экономичностью и простотой внедрения в производственный процесс. Среди недостатков ингибиторного метода защиты следует отметить снижение концентрации основного действующего вещества в агрессивной среде с течением времени вследствие адсорбции его на поверх-

ности оборудования, коагуляции с примесями, содержащимися в среде, и разбавления свежей водой, поступающей в оборотные циклы.

В связи с этим возникает необходимость поддержания рабочей концентрации ингибитора в системе за счет контроля коррозионной агрессивности среды. Для решения данного вопроса целесообразно использовать неразрушающие методы контроля, а именно кулоностатический метод [1–3]. Последний обладает рядом существенных преимуществ: простотой аппаратного оформления, возможностью работы в низкопроводящих средах, малым электрическим воздействием на электрод, высокой информативностью и быстродействием. Кулоностатический метод успешно применялся при исследовании адсорбции поверхностно-активных органических веществ на металлах и кинетики переноса заряда [4–6]. В настоящее время существует

несколько методик коррозионного мониторинга на основе кулоностатического метода в низкопроводящих средах в условиях применения ингибиторов [2,3,7,8]. Их недостатком является громоздкость и высокая стоимость аппаратурного оформления, низкая мобильность, сложность внедрения в условиях реального технологического процесса, отсутствие совместимости с современной компьютерной техникой и аппаратурой, отсутствие возможности обработки полученных данных, их анализа и выдачи управляющего воздействия с помощью современных автоматизированных систем управления технологическим процессом. Целью настоящего сообщения является представление новой методики оценки эффективности ингибиторной защиты стали в нейтральной среде. Эта методика, основанная на кулоностатическим методе, перспективна и может быть востребована не только в рамках антакоррозионной защиты систем оборотного водоснабжения нефтеперерабатывающего завода, но и для любой другой отрасли, имеющей проблему коррозионного износа оборудования.

#### **Методика эксперимента**

Кулоностатический метод основан на том, что на электрохимическую систему подается короткий импульс тока микросекундного диапазона, который поляризует систему до начального потенциала ( $E_0$ ). Затем регистрируется релаксация системы до стационарного состояния, протекающая в условиях разомкнутой цепи. Основным требованием при проведении кулоностатического эксперимента является то, что длительность зарядного импульса должна быть значительно меньше постоянной времени релаксации ( $\tau_p$ ), равной

$$\tau_p = R_p C_d,$$

где  $C_d$  – емкость двойного электрического слоя (ДЭС),  $R_p$  – поляризационное сопротивление. В этом случае можно считать, что весь инжектированный на электрод заряд идет на заряд емкости двойного электрического слоя:

$$C_d = \frac{E_0}{Q}, \quad (1)$$

где  $E_0$  – начальная поляризация электрода;  $Q$  – количество электричества, подаваемого в импульсе.

Релаксация потенциала электрода к своему стационарному значению за счет электродных реакций, протекающих в условиях замедленного разряда, и  $E_0 < 5$  мВ описывается уравнением:

$$E = E_0 \exp\left(\frac{-t}{C_d R_p}\right), \quad (2)$$

где  $R_p$  – поляризационное сопротивление;  $t$  – время релаксации.

При обработке релаксационных кривых в координатах  $\ln E$ ,  $t$  можно определить величины  $C_d$  и  $R_p$ , необходимые для расчета адсорбционных и кинетических параметров. Следует отметить, что данная теория кулоностатического метода применима лишь в случае электрода с энергетически и геометрически однородной поверхностью. В обратном случае в теории метода требуется учет элемента постоянной фазы [9].

В качестве ингибитора коррозии стали в нейтральной среде использован ингибитор ОК-2. Модельной агрессивной средой служила проточная вода, состав которой регламентируется по ГСанПиН №383 (таблица) [10].

#### **Характеристика воды питьевой (органолептические показатели) по ГСанПиН № 383**

Показатель	Норма
Водородный показатель, pH, в диапазоне	6,5–8,5
Железо, мг/дм <sup>3</sup> , не более	0,3
Жесткость общая, мг-экв/дм <sup>3</sup> , не более	7,0
Сульфаты, мг/дм <sup>3</sup> , не более	250
Минерализация общая (сухой остаток), мг/дм <sup>3</sup> , не более	1000
Хлорфенолы, мг/дм <sup>3</sup> , не более	0,0003
Хлориды, мг/дм <sup>3</sup> , не более	250
Медь, мг/дм <sup>3</sup> , не более	1,0
Марганец, мг/дм <sup>3</sup> , не более	0,1

Мониторинг ингибиторной защиты проводился в течение 30 суток. Начальная концентрация ОК-2 в модельной среде составляла  $3 \cdot 10^{-6}$  моль/л. Через определенные промежутки времени проводились кулоностатические измерения в трех параллельных опытах. В качестве рабочего электрода использовалась запрессованная во фторопласт проволока из стали Ст 3 с площадью рабочей поверхности  $3,14 \cdot 10^{-2}$  см<sup>2</sup>, а в качестве вспомогательного электрода использовалась пластина из нержавеющей стали. Перед каждым измерением поверхность рабочего электрода обновлялась шлифованием и обезжириванием. Температура растворов на протяжении эксперимента поддерживалась терmostатированием и составляла 293 К.

Определение концентрации ОК-2 в растворах фотокалориметрическим методом проводилась на КФК-2. В качестве вещества-индикатора использовался эозин, который под влиянием гуанидиновых групп ОК-2 меняет окраску раствора от оранжевого до интенсивно розового цвета. Реакция протекает в среде глицинового буфера при pH=3,5.

Для построения калибровочного графика готовилась серия растворов с заданной концен-

трацией ОК-2. В пробу, содержащую ОК-2, объемом 10 мл, добавлялся 1 мл 0,05% водного раствора эозина и 10 мл глицинового буфера. Кислотность приготовленных растворов контролировалась при помощи pH-метра. Растворы перемешивались и оставлялись на 5–10 мин. Измерение оптической плотности выполнялось в течение 20 минут после внесения в пробу индикатора. Определение проводилось со светофильтром, длина волны которого составляла 535 нм. Полученный калибровочный график зависимости оптической плотности D от концентрации ОК-2 представлен на рис. 1.

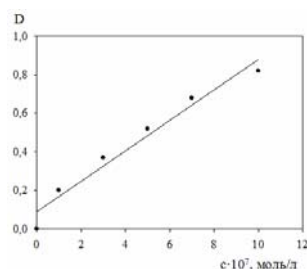


Рис. 1. Зависимость оптической плотности раствора от концентрации ОК-2

Для определения концентрации ОК-2 при мониторинге из исследуемых растворов отбиралась проба объемом 10 мл и по описанной выше процедуре определялась оптическая плотность раствора с последующим нахождением по калибровочному графику концентрации ОК-2. Следует отметить, что определение оптической плотности исследуемых растворов в зоне высоких концентраций проводилось после их предварительного разбавления.

#### *Результаты и их обсуждение*

Для практической реализации кулонастических измерений разработана автоматизированная система, схема которой приведена на рис. 2. Она включает персональный компьютер, связанный универсальной последовательнойшиной (USB) с серийно выпускаемым комбинированным прибором ACK-4106 и электрохимической ячейкой. Прибор ACK-4106 включает в себя два функциональных модуля: двухканальный цифровой запоминающий осциллограф и модуль генератора сигналов произвольной формы. Импульс от модуля генератора подается на измерительную ячейку через последовательно соединенные гальваниостатическое (балластное  $R_g$ ) сопротивление и диодную развязку (D), предотвращающую разряд емкости двойного слоя через цепь модуля генератора импульсов. Одновременно с подачей импульса на ячейку автоматически запускается развертка модуля осциллографа. Отклик измерительной системы в цифровом виде регистрируется прибором ACK-4106 и по каналу USB передается на компьютер.

Специально разработанный пакет программ

для обработки кулонастических данных позволяет осуществлять отображение релаксационных кривых и провести расчет по кривой спада потенциала значений емкости двойного электрического слоя и поляризационного сопротивления.

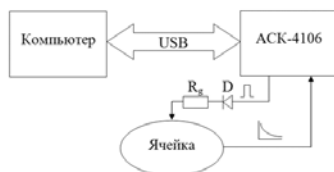


Рис. 2. Схема кулонастической установки

Разработанная программа дает возможность определять концентрацию ингибитора в исследуемой системе по найденным значениям емкости двойного электрического слоя и поляризационного сопротивления. Для этого необходимо предварительно определить параметры изотермы адсорбции и кинетической модели ингибирования, которые адекватно описывают процессы в исследуемой системе. Источником необходимых характеристик являются зависимости значений  $C_d$  и  $R_p$  от концентрации ингибитора в растворе.

В связи с этим предварительно получены зависимости емкости двойного электрического слоя стального электрода и поляризационного сопротивления от концентрации ингибитора в модельной системе оборотного водоснабжения (рис. 3). Оказалось, что по мере роста концентрации ОК-2 значения емкости двойного слоя стального электрода снижались, а поляризационного сопротивления увеличивались.

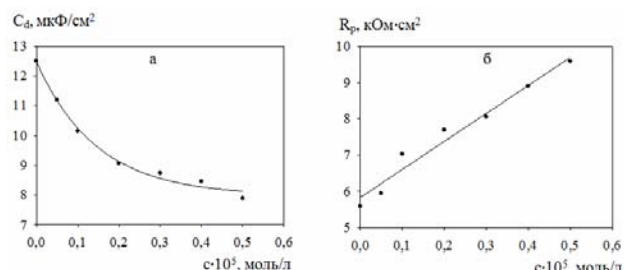


Рис. 3. Зависимость емкости ДЭС (а) и поляризационного сопротивления (б) от концентрации ОК-2 ( $E=-0,49$  В и  $T=293$  К)

Степень заполнения электрода ингибитором (и) определялась по модели двух параллельных конденсаторов в соответствии с уравнением:

$$\theta = \frac{C_d^0 - C_d}{C_d^0 - C_d'}, \quad (3)$$

где  $C_d^0$  – емкость ДЭС при отсутствии адсорбата;  $C_d'$  – емкость ДЭС при степени заполнения

равной единице (предельная адсорбционная емкость).

Необходимое для расчета  $q$  значение емкости  $C_d'$  определялось экстраполяцией зависимости  $C_d$ ,  $1/c$  на ось ординат. В данном случае значения параметров  $C_d^0$  и  $C_d'$  соответственно составляли 12,5 и 7,0 мкФ/см<sup>2</sup>. По уравнению (3) рассчитаны значения степеней заполнения поверхности электрода ингибитором при различных концентрациях. Оказалось, что адсорбция OK-2 на стальном электроде описывалась изотермой адсорбции Ленгмюра (4), так как экспериментальные данные оказались линейными в координатах  $\theta/(1-\theta)$  от  $c$  (рис. 4).

$$\frac{\theta}{1-\theta} = Bc, \quad (4)$$

где  $B$  – константа адсорбционного равновесия.

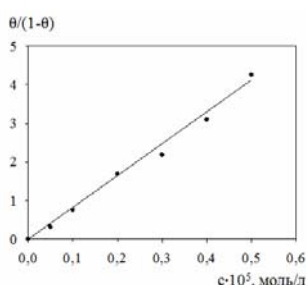


Рис. 4. Изотерма адсорбции OK-2 на стальном электроде  
(T=293 K)

Очевидно, что из тангенса угла наклона зависимости  $\theta/(1-\theta)$  от  $c$  можно найти численное значение константы адсорбционного равновесия, которое составляло 873,5 м<sup>3</sup>/моль.

Таким образом, изотерма адсорбции Ленгмюра может быть использована для расчета текущей концентрации ингибитора, если предварительно найдено значение константы адсорбционного равновесия.

Кинетические параметры процесса коррозии стали, определялись по значениям поляризационного сопротивления  $R_p$ . Ток коррозии  $I$  рассчитывался по уравнению Штерна:

$$I = \frac{b_a}{R_p}, \quad (5)$$

где  $b_a$  – постоянная Тафеля анодного процесса.

Значение  $b_a$  определялось кулоностатическим методом больших амплитуд [3] и для исследуемой системы составляла 59,2 мВ.

Используя значения поляризационного сопротивления, по уравнению (5) рассчитаны токи коррозии и, на их основании, получены величины относительных скоростей ионизации железа. На рис. 5 приведены зависимости относительной скорости ионизации железа от степени

заполнения поверхности электрода молекулами OK-2, которая находится вдоль прямой линии, соответствующей известной модели «блокировки»:

$$I = I_0(1-\theta), \quad (6)$$

где  $I_0$  – скорость коррозии стали в неингибиционной среде.

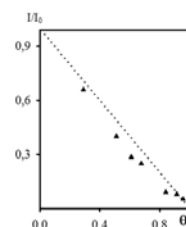


Рис. 5. Зависимость относительной скорости ионизации железа от степени заполнения поверхности электрода OK-2 (T=293 K)

Очевидно, снижение скорости коррозии стали в присутствии OK-2 связано с уменьшением доли свободной от адсорбата поверхности (стериический фактор торможения) и слабо зависело от активационной составляющей ингибиционного действия. Такая линейная зависимость скорости коррозии стали от степени заполнения (уравнение (6)) также может быть использована в качестве модельной для определения текущей концентрации ингибитора в растворе. С ее помощью определялось значение степени заполнения электрода органическим адсорбатом по измеренным текущим значениям поляризационного сопротивления, и далее по уравнению (4) находилась концентрация ингибитора в системе.

С целью проверки работоспособности предлагаемой методики проведен долгосрочный мониторинг процесса коррозии стали в ингибиционной среде в условиях лаборатории. Мониторинг проводился в течение 30 суток в водопроводной воде при стационарном потенциале стального электрода. Начальная концентрация ингибитора в растворе составляла  $3 \cdot 10^{-6}$  моль/л. В ходе мониторинга были получены зависимости емкости ДЭС и поляризационного сопротивления от времени (рис. 6).

Как и предполагалось, емкость ДЭС во времени росла, а поляризационное сопротивление понижалось, что свидетельствовало об уменьшении концентрации ингибитора в растворе. Этот факт может быть обусловлен выведением из объема раствора ингибитора посредством его коагуляции со взвешенными частицами гидроксида железа и прочими примесями. Далее текущее значение  $C_d$  и  $R_p$  электрода пересчитывалось в  $q$  при известных параметрах  $C_d^0$  и  $C_d'$ . Полученные разными способами значения

степеней заполнения усреднялись и по уравнению (4) рассчитывалась текущая концентрация ингибитора (рис. 7,а).

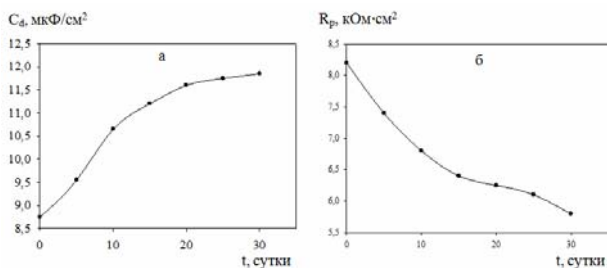


Рис. 6. Зависимость емкости ДЭС(а) и поляризационного сопротивления (б) от времени при долгосрочном коррозионном мониторинге ( $T=293$  К)

Для проверки достоверности значений концентраций, полученных по данной методике, параллельно с кулоностатическим использовался спектрофотометрический метод. С его помощью за аналогичные промежутки времени определялась оптическая плотность исследуемого раствора и по калибровочному графику (рис. 1) находилась текущая концентрация ингибитора в растворе (рис. 7,а). Полученные значения концентраций, определенные двумя методами, имеют незначительное расхождение, что подтверждается расчетными значениями относительной ошибки, которая для большинства измерений не превышает 10% (рис. 7,б), а, следовательно, можно считать, что результаты кулоностатических измерений являются достоверными.

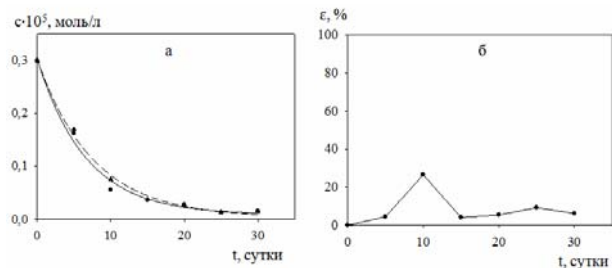


Рис. 7. Зависимость концентрации ОК-2 при долгосрочном коррозионном мониторинге, определенной кулоностатическим (сплошная линия) и спектрофотометрическим (пунктирная линия) методами (а) и относительной ошибки определения (б) от времени ( $T=293$  К)

### Заключение

Предложена методика контроля концентрации ингибитора солеотложения и коррозии в оборотных циклах водоснабжения кулоностатическим методом. В основе методики лежало измерение текущих значений емкости двойного слоя и поляризационного сопротивления, по которым можно легко рассчитать концентрацию композиции при известных моделях ее адсорб-

ции и ингибирующего действия. Предварительно установлена модель адсорбции полиэлектролитных комплексов, которая оказалась изотермой Ленгмюра, а изменение поляризационного сопротивления укладывалось в рамки уравнения «блокировки». Следует отметить, что характеристики, получаемые кулоностатическим методом, имели высокую чувствительность к изменению состава раствора. Это подтверждено в ходе проведения долгосрочного коррозионного мониторинга, проведенного в лабораторных условиях. Применение альтернативного оптического метода для определения концентрации ингибитора подтвердило достоверность данных, полученных с помощью кулоностатической установки.

*Работа выполнена в рамках гранта «Наноструктурные полиэлектролитные комплексы – новые эффективные деэмульгаторы, ингибиторы солеотложения, коррозии металлов и стабилизаторы эмульсионного биотоплива», номер государственной регистрации 0113U000016.*

### СПИСОК ЛИТЕРАТУРЫ

1. Егер Э., Залкинд А. Методы измерения в электрохимии. – М.: Мир. – 1977. – Т.1. – 585 с.
2. Van Leeuwen H.P. Coulostatic pulse techniques // Electroanal. Chem.: Ser. Adv. – 1982. – Vol.12. – P.159-238.
3. Данилов Ф.И., Капитонов А.Г., Образцов В.Б. Теоретические и экспериментальные особенности коррозионных измерений релаксационными методами // Физико-хімічна механіка матеріалів. – 2000. – Т.2. – № 1. – С.611-616.
4. Вплив природи замісників на адсорбційні та інгібіторні властивості катіоноактивних поліелектролітів / В. Образцов, Н. Аміруллоєва, О. Судак, Ф. Данилов // Физико-хімічна механіка матеріалів. – 2010. – № 8. – С.423-428.
5. Закономерности адсорбции карбоксилсодержащих полигуанидинов на латуни. / В.А. Головенко, В.С. Кутянина, М.Н. Терещук, В.Б. Образцов // Вопр. химии и хим. технологии. – 2009. – № 4. – С.93-97.
6. Ингибирование коррозии стали полиэлектролитами в нейтральной среде / В.Б. Образцов, Е.Д. Рубleva, Р.Г. Старов, Н.В. Аміруллоєва // Вопр. химии и хим. технологии. – 2011. – № 4 (2). – С.97-100.
7. Судзуки М. Контроль коррозии на основе кулоностатического метода // Хайкан то соти. – 1981. – Т.21. – № 8. – С.37-41.
8. Corrosion monitoring of cooling water system by coulostatic method / H. Hasebe, M. Suzuki, Y. Sato, M. Okumura // IECON 84: Proc. International Conf. – Tokyo, (Japan). – 1984. – P.1061-1065.
9. Danilov F., Obraztsov V., Kapitonov A. The inhibiting effect of the organic substances on polycrystalline and amalgam electrodes // J. Electroanal. Chem. – 2003. – Vol.552. – P.69-76.
10. ДСанПиН № 383 «Вода питна. Гігієнічні вимоги до якості води централізованого господарсько-питного водопостачання». – Наказ МОЗ України №383 від 23.12.1996 р.

Поступила в редакцию 20.11.2013